

IHI 浮消波堤について

石川島播磨重工業(株) 技術本部 製品開発室 海上施工課

1. はじめに

波長のいかんを問わず、ほとんど 100% 消波することのできる固定式の防波堤に比べて、浮消波堤は、経済性を無視して巨大な物体を設置する場合は別として、一般的には、比較的波長の長い「うねり」に対しては、その消波効果は減少する。しかししながら、浮消波堤の特長として、固定式の防波堤に比較して、

- (1) 設置水深が増しても、建設費がそれほど増大しないので、水深が深くなるほど相当安く設置できる。
- (2) 工事の施工が容易で、短期間に設置することができます。
- (3) 海水の交流を殆んど阻害しないため、堤内の海水汚染等の問題が生じない。
- (4) 移設が比較的容易にできる。

などあげるこゝがござれど、その特性を生かし目的・用途のための研究開発が内外で活発になってきてきた。

すでに、内海の比較的波高の低い仙洋においては、ポンツーン型の浮消波堤が実用化されているが、沖合からの波浪を同時に受ける外海においては、まだその実施例を見ない。

経済水域 200 海里の時代を迎へ、資源の乏しい我が国にとって、海岸、食糧、資源、エネルギー(石油など)の供給源として、ますますその重要度を高め、沿岸海域の有効利用は必須の課題となってきた。従来、比較的波の静かな内湾・浅海部に設置されてきて、各種港湾施設や水産増・養殖施設も自然条件の一端と厳しい外海へと拡大進歩して行く傾向にあり、これら施設の保護を目的として浮消波堤が注目されはじめた。

この様な背景のもとで、IHI では、内海はもとより、外海においても十分な耐久性を有し、有効な浮消波堤の開発を目的として、48 年度より数次にわたる海上試験を実施してきだが、その概要について紹介したい。

2. 海上試験

2-1. 三浦海岸における海上試験

三浦海岸にて実施して本体工基による小規模の海上試験は、次に計画していく大規模な海上試験の海の予備試験で、模型による二次元水槽試験の結果と、実際ににおける試験の結果との相似性を明瞭にすることを主眼として実施して。

係留方式は、変動張力をダンピングあるくための中間ディアトウエートと設けた係留方式と、中間ディアトウエーツ、カタナリーコードによる二種類について実施したが、両者間に本体動揺、係留張力等における差は認められず、設置面積が小さくなること、コストが安くなることが前者がやゝ勝っている。

2-2. 官古湾オニシ海上試験

本試験は(財)日本能率機器開発協会と IHI の共同研究にからもので、試験方案に関しては事業委員会にて検討され、種々の勧告を受け、それらを盛り込んで試験を行ったものである。例えば、付着生物の調査、気象観測をして波との関係を見るなど; 保険はメソド掛け、トラブル発生時などの責任の所在などを明確にしておくなど; 荒天災害時など緊急措置などをようべ通報のルート、官庁への届出などを予め調査し明らかにしておくなど等のサジェスチョンがあつた。

本体寸法などの主な仕様は一覧表に示す。官古湾オニシ海上試験は現在継続中である。

設置図をオニシ図に示して、係留方式は、中間ウェート方式を採用した。このウェートは単なる重量ウェートではなく、あらゆる抵抗板の働きをもたせており、変動張力のダンピング効果をよくしてあり、消波効果に対しても顕著な作用をなしている。

IHI 浮消波堤 海上試験仕様表

種別	三浦海岸	宮古湾第一次	宮古湾第二次	
試験期間	S48.12 ~ 49.4	S49.8 ~ 50.2	S50.7 ~ 52.6(予)	
堤所	三浦海岸(神奈川県) 上宮田沖合 370m	宮古湾(岩手県) 大沢地先 700m	同左	
水深(本体位置)	約 7m	約 25m	同左	
底質	砂地	砂地	同左	
供試基数	2	8	2 (3)	
全設置中	7m	65m	15.5m	
形式	θ型	θ型	θ型	
寸法(長さ×巾×高さ)	6 × 3 × 1.9 m	15 × 7 × 3.25	同左	
重量(t/基)	3.5	26	27	
材質・種類	SS 41	SS 41 および耐海水性鋼	同左(各1基)	
構造様式	一体溶接構造	一体溶接構造	同左	
係留方式 および種類	中間ブイ・ウェート式(1) 中間ブイ・チェーン式(1)	中間ウェート式	同左	
係留索 または鎖	索(タイダルF50T) 鎖(32 ^φ 2種)	係留索(沖F200T 岸F130T) タイダル	係留索 AS線 400T	
アンカーブロック	15t 方形ブロック	100t 2段積、H型	同左	
中間ブイ および中間ウェート	0.6t 浮力ブイ 0.5t ウェート	ウェート(鋼板溶接) コンクリート詰 7t	同左	
試験項目	1) 設置工法 2) 波高 3) 係留張力 4) 接手、チーン等 5) 漂砂、洗掘など	1) 消波効果 2) 波高と係留力の 相関性 3) 腐食・防食 4) 接手、チーン 5) 生物付着 6) 自沈装置の作動 7) 設置・撤去工法	同左 [但し、項目1)を除く。]	
最大波浪	試験期間中の 最大波浪。 但し、宮古湾第二次 海上試験は51年8月末 現在を示す。	1) 3月22日 春一番 2) 波高 $H_{max} = 2.07m$ 3) 周期 $T = 9.0 \text{ sec}$ 4) 波長 $L = 68m$ 5) 波形勾配 $H/L \approx 0.03$ 但し、1) ~ 5) は同一 波についての記録	1) 2月22日 2) $H_{max} = 9.2m$ 3) $T = 12.6 \text{ sec}$ 4) $L = 175m$ 5) $H/L \approx 0.053$ 但し、 同左	1) 50年11月12日 2) $H_{max} = 11.4m$ 3) $T = 14 \text{ sec}$ 4) $L = 200m$ 5) $H/L \approx 0.057$ 但し、同左 (台風19号)

(註) 宮古湾第一次の海上試験は、(財)日本船用機器開発協会との共同研究によるものである。

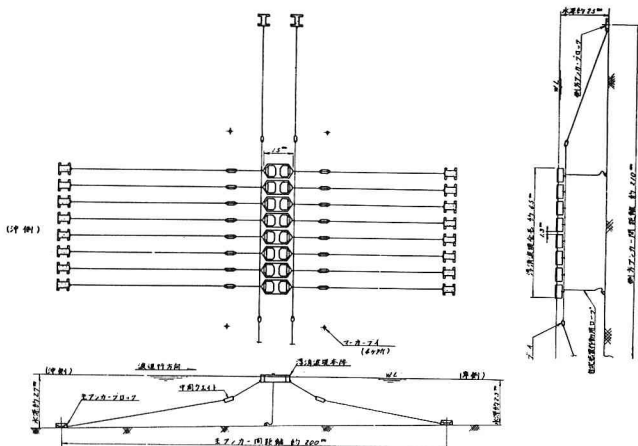
主張索は、PE被覆のPC鋼線

ワイヤーロープを使用した。

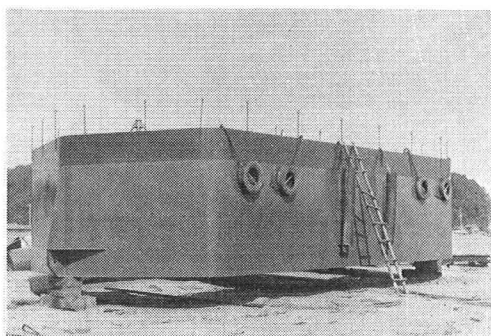
沖側と岸側で仕様を変えるのは、
水槽試験の結果、沖側に比べ岸側張力
が約40%程度少い値を示すので、
疲労強度の実験結果は設計波高に対して
安全率低めのうまいあつたが、コ
スト低減をねらってある。

なお、ワイヤーロープの引張疲労
試験に関するテストデータがほとんど
無かったため、实物モデルにあって
100万回の使用荷重の下での繰返し
引張疲労試験を実施した。

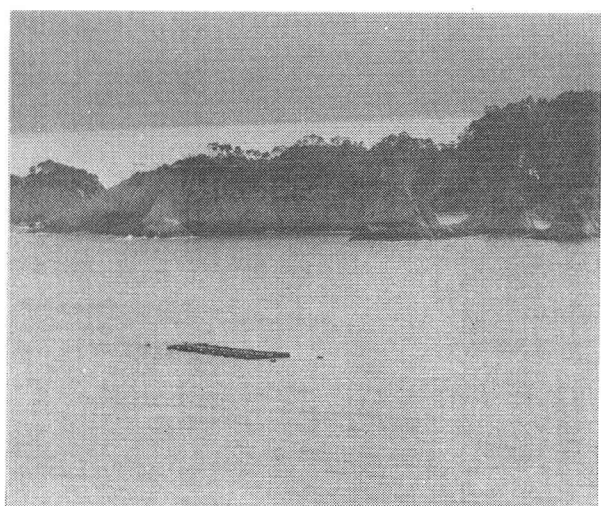
単純引張試験では十分な破断強度
と示すロープも、疲労試験では20万回足らずの繰返数で断線を生じる例もあり、序盤のロープのクランプ部
に改良を加え、100万回の疲労試験に耐えるようになら。



オ1図 宮古湾第一次海上試験 設置図



オ2図 本体外観



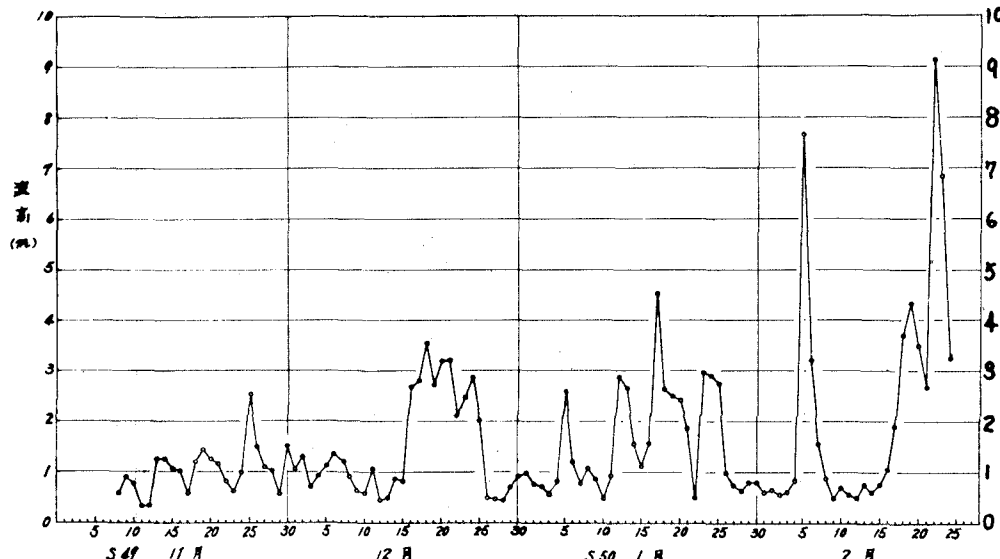
オ3図
設置状況

上記ロープの疲労SN曲線が得られたので、現地海域における一年間の平均的ロープ張力の時間分布が
わかれれば、直線破壊法則(マイナーの法則)が成立するとして、ロープの疲労寿命が推定できるこになる。

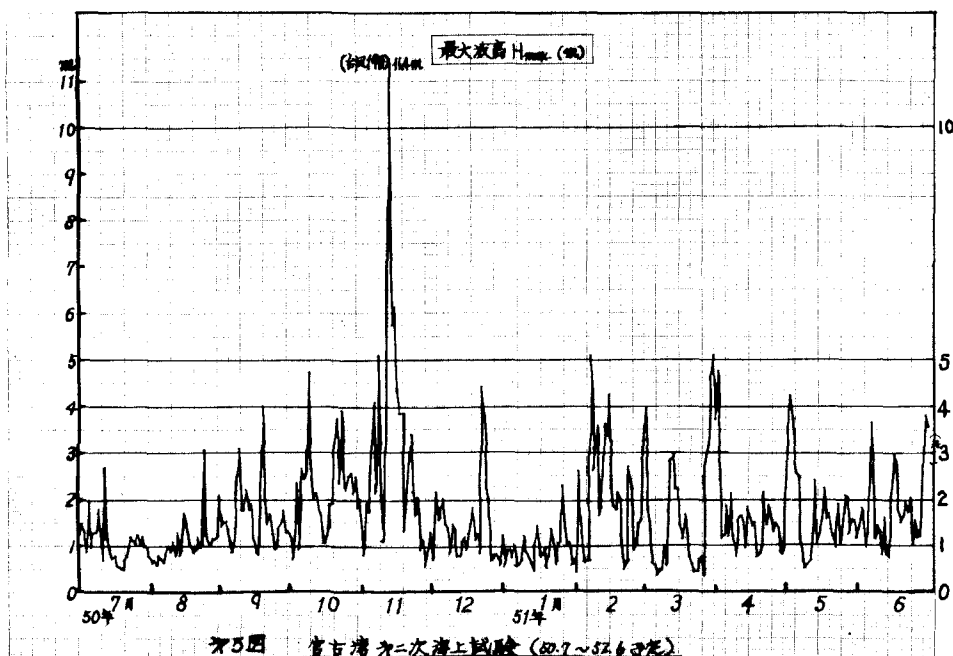
試験期間中に観測された波は、周期5~18秒(平均的に10~12秒前後が多い)、波長50~
280m、波高最大9.2mで、いずれも推定計算値(例えば最大波高7m)を大目に上回るものであ
る。オ4図は、各々の波について、解析装置によって得られた結果で、各周期毎に10点以上、自家平均して
求めた透過率を示している。

オ5図は同じく自家平均して求めた値を無次元化して示した張力である。

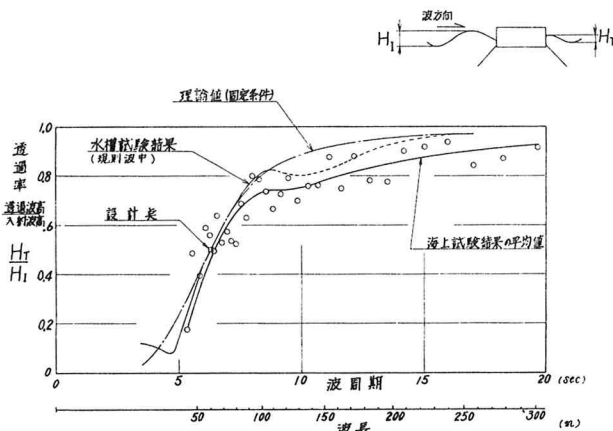
宮古湾第一次海上試験並びに 第二次海上試験の最大波高記録を示す。
第二次海上試験は、51年8月31日現在 持久試験継続中であり、52年6月撤去、終戻検の予定。



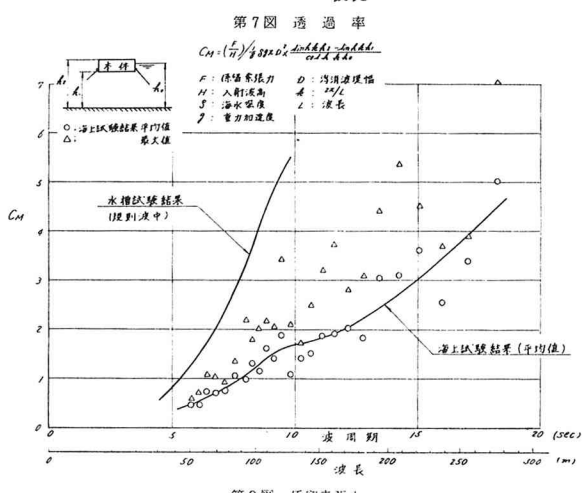
宮古湾第一次試験 第4図 波高記録(最大波高)



第5図 宮古湾第二次海上試験(50.7~51.6年)



第6図 宮古水産試験所内
観測室



第7図 透過率

第8図 係留索張力

透過率は、規則波中で行なった水槽試験結果と、海上試験結果が全般に傾向が良く合っており、波長の長い領域で海上試験結果の方が若干低い値を示している。予想したものより更に長い波周期の波まで効果があることがわかった。

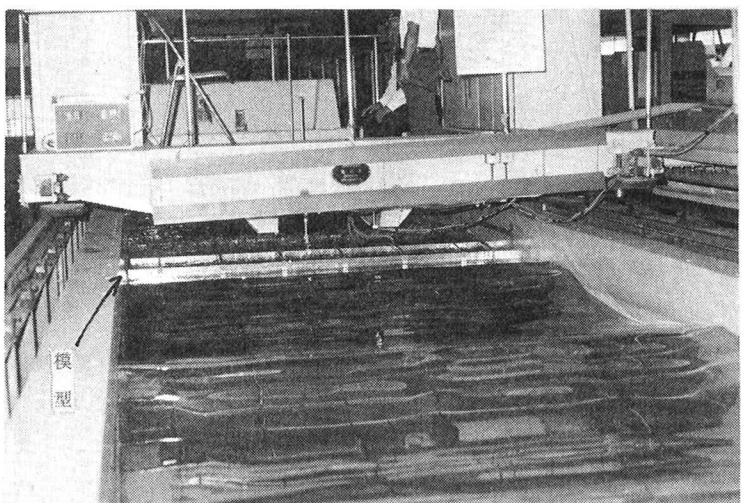
オーナー海上試験の結果、最大の試験目的である消波効果に肉薄し、片室の成果が得られなかつたが、扉懸ロープ崩れ(特に岸側)で切斷事故が発生、推定設計波高に甘さがあったこと、ロープのつけ根に自由度が不足していたなどの原因によるものと判明し、次のオーナー海上試験において改進を加えた。

2-3. 宮古湾オーナー海上試験

オーナーの海上試験の結果、ロープ接手部を改造、自由度を増し、疲労強度を大に上げるなどの強度向上の対策を施した。

50年11月に台風19号が三陸沿岸を通過し、大高潮となつたが、($H_{max} = 11.4m$) それにも耐え、十分耐久力を有してゐることが実証された。

接手部の摩耗、疲労強度など、長期間のテストデータが必要なため、72年6月迄継続試験ある。



第9図 大型模型による動揺・応力測定試験
手前・入射波側より見る